FIG. 1

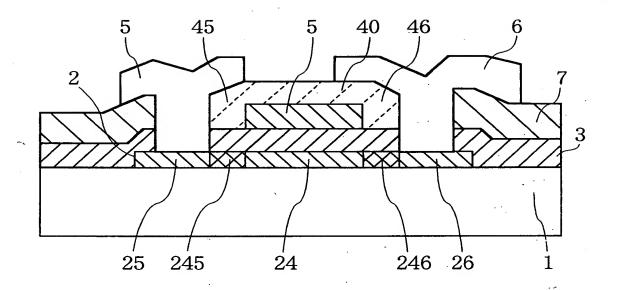


FIG. 2

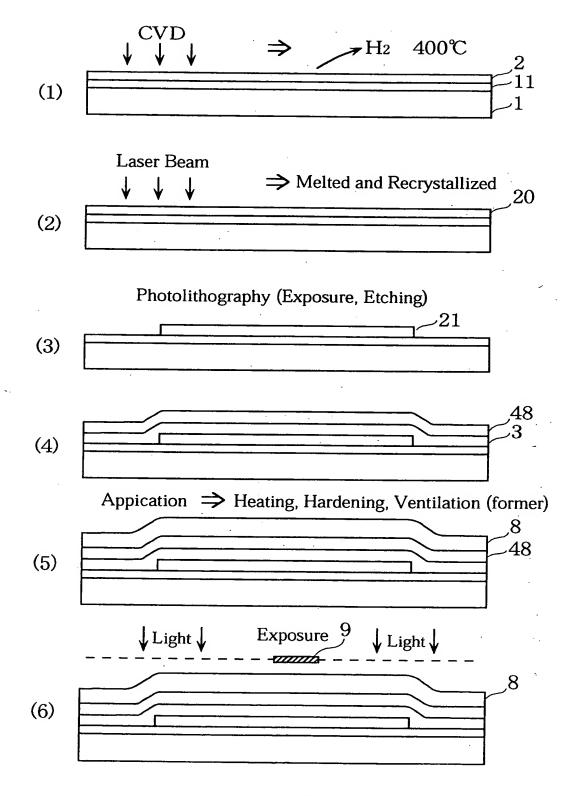


FIG. 3

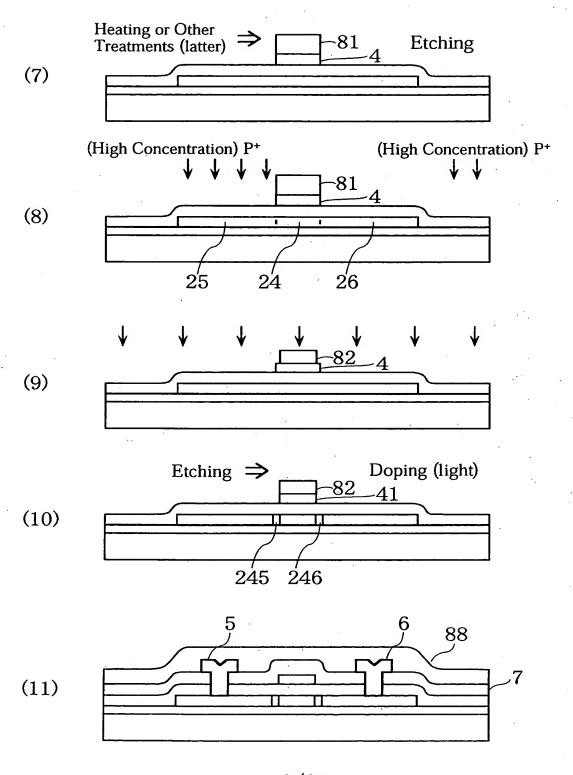


FIG. 4

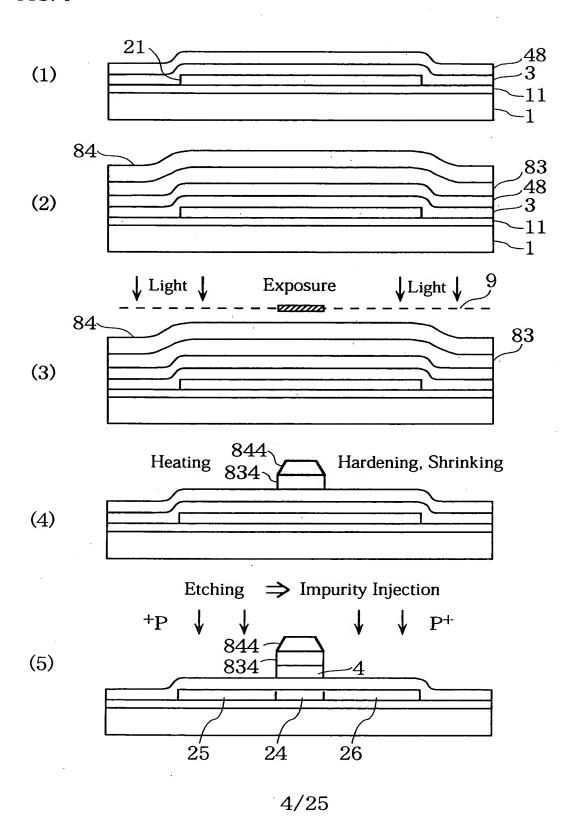


FIG. 5

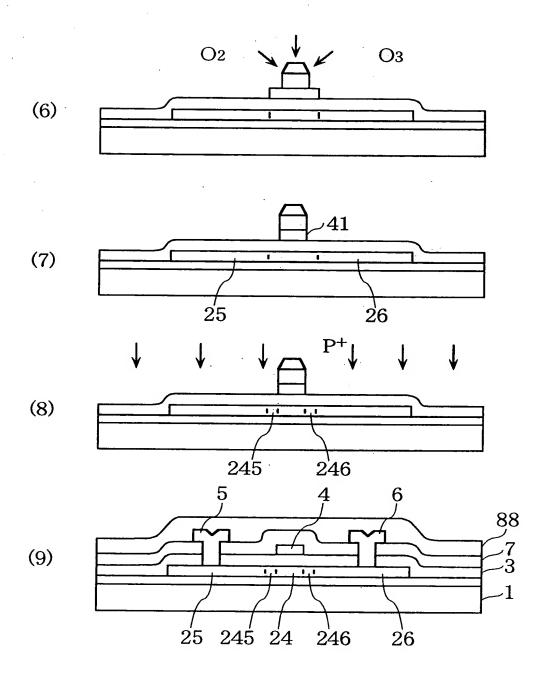
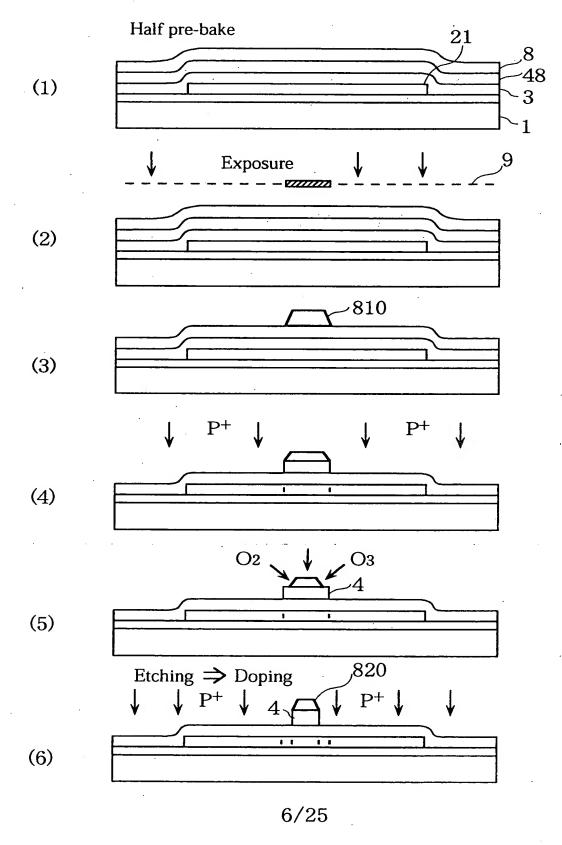


FIG. 6



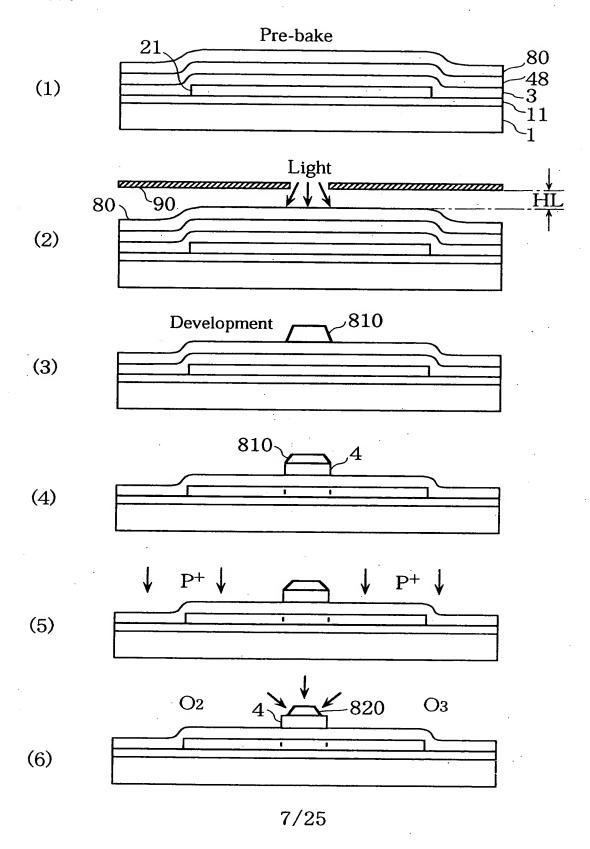


FIG. 8

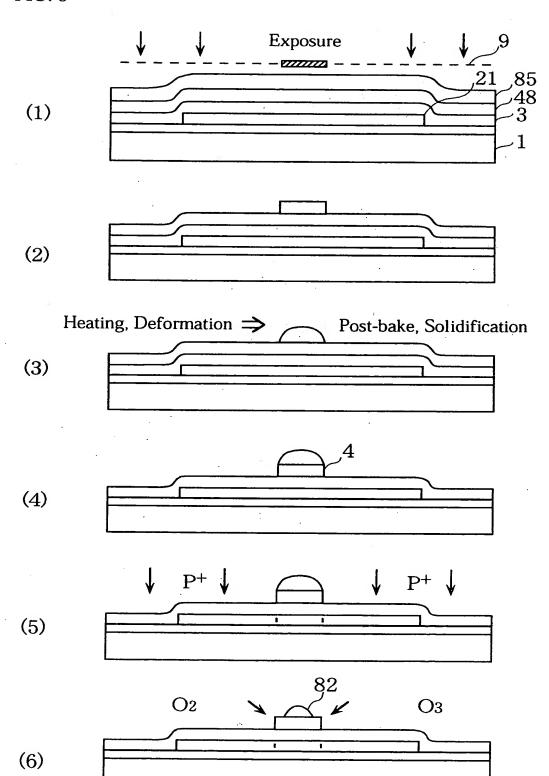
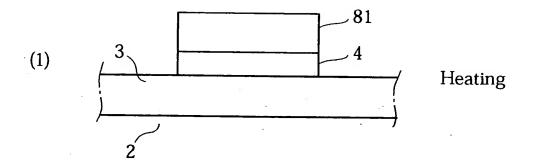
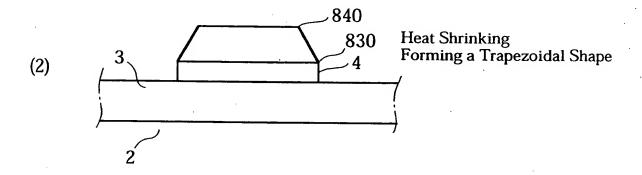


FIG. 9





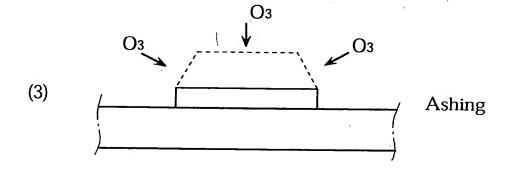


FIG. 10

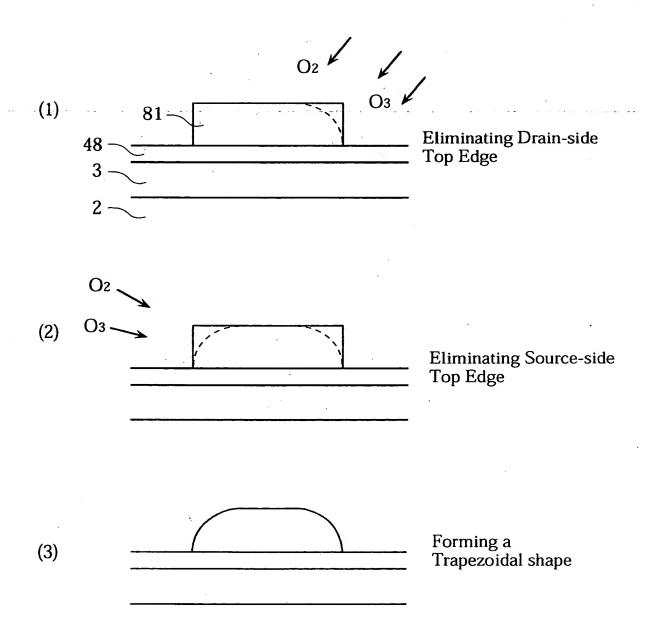


FIG. 11

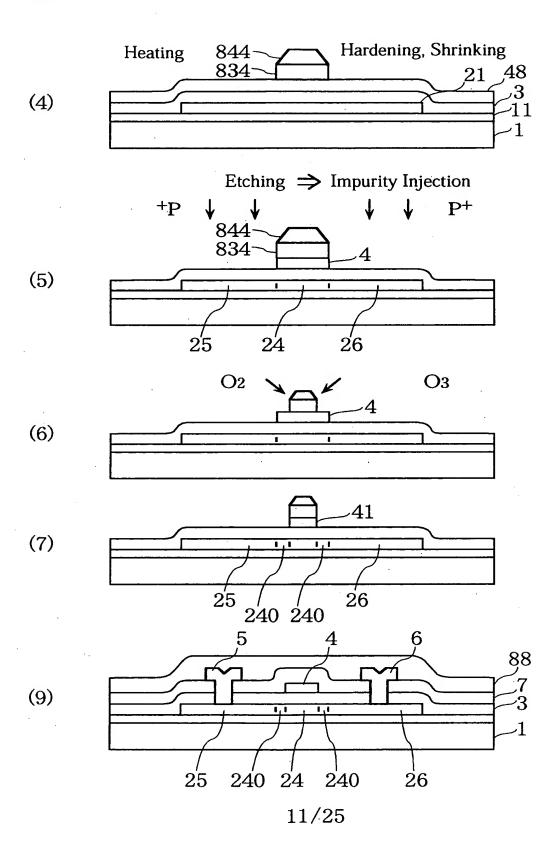


FIG. 12

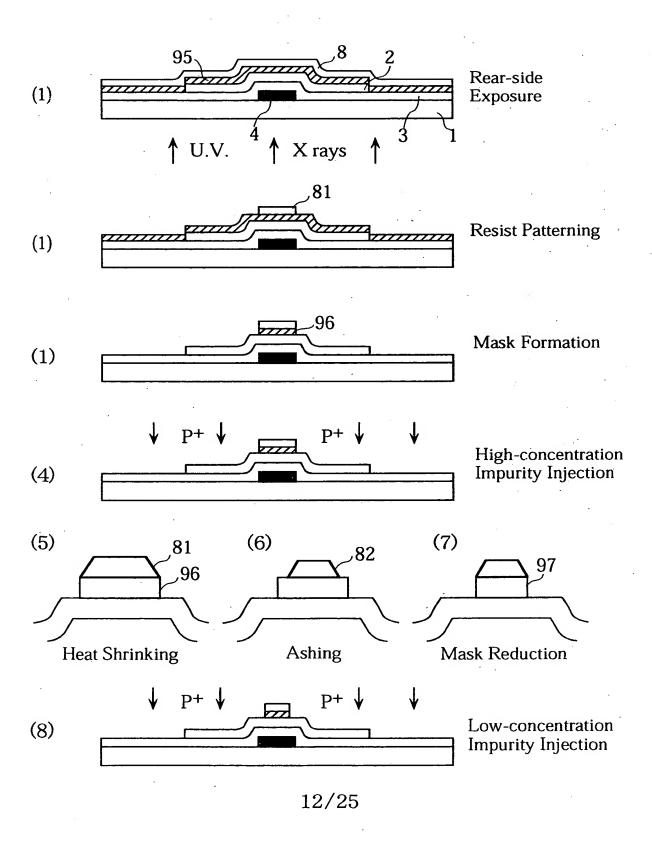
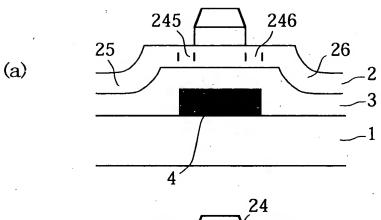
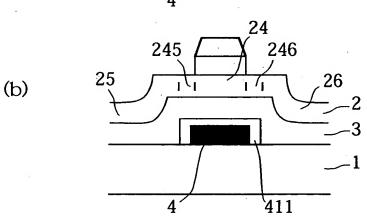
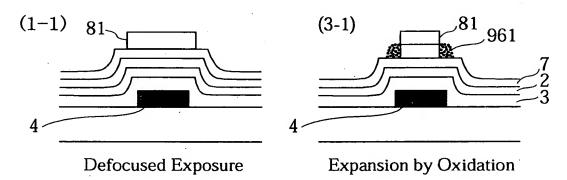
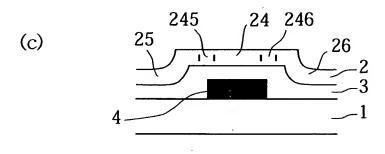


FIG. 13









13/25

FIG. 14

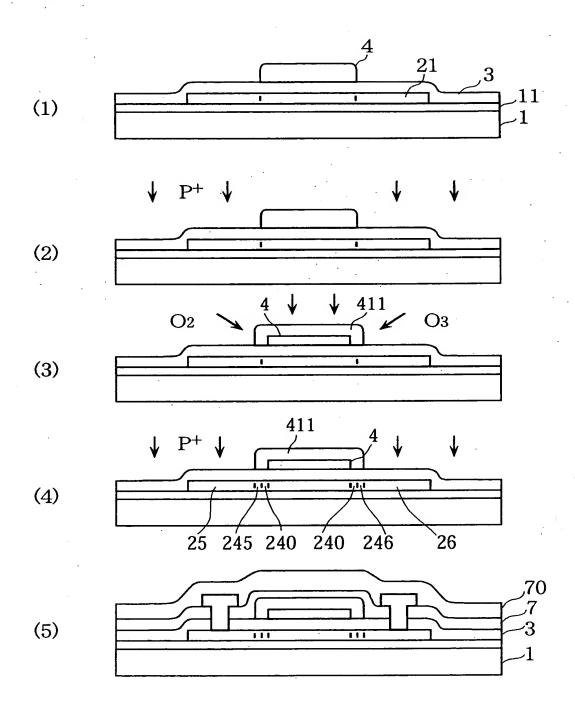
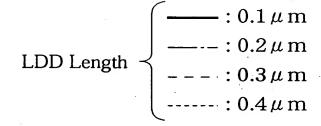


FIG. 15



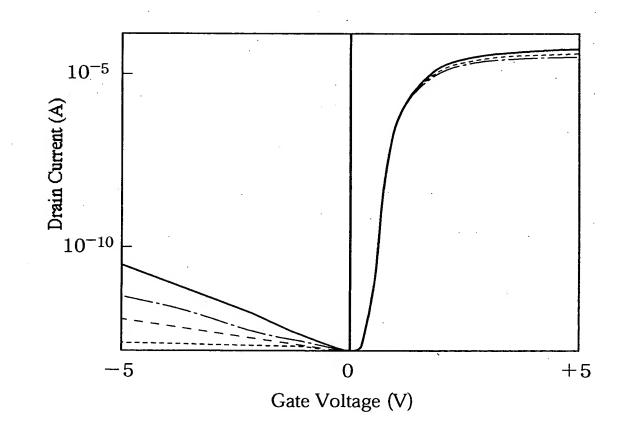
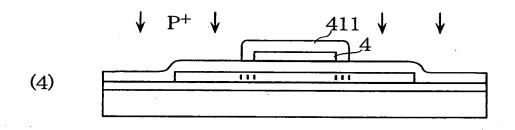
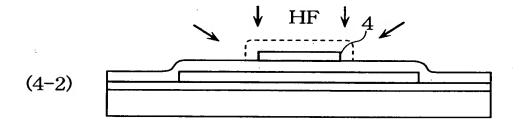


FIG. 16





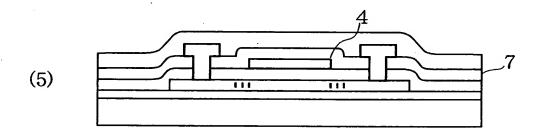
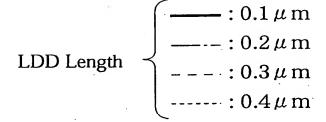


FIG. 17



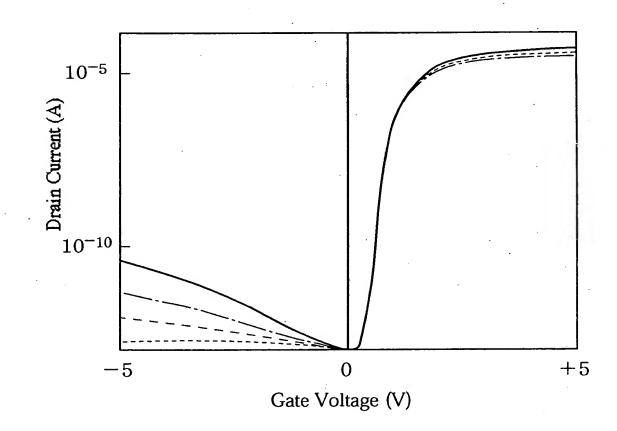
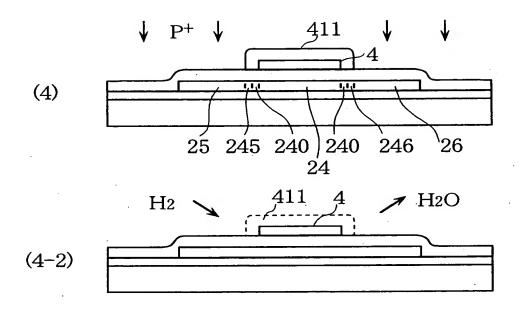


FIG. 18



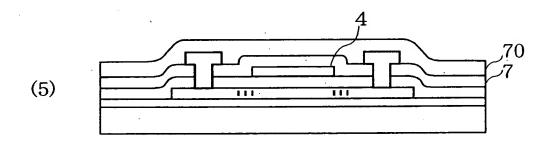
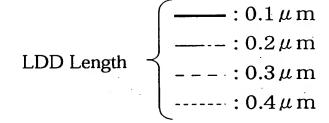
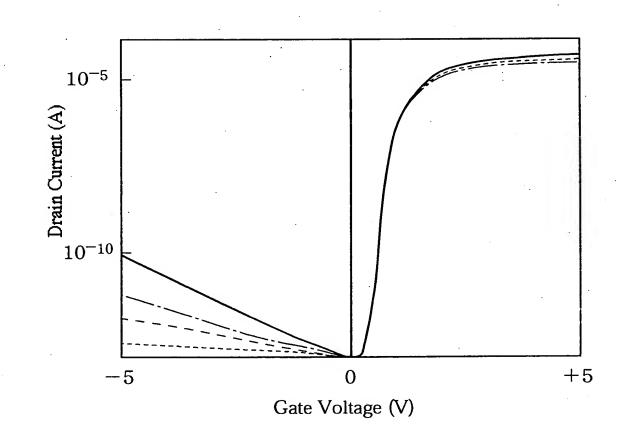
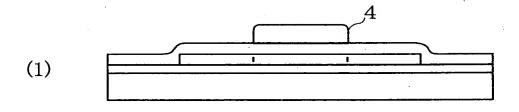


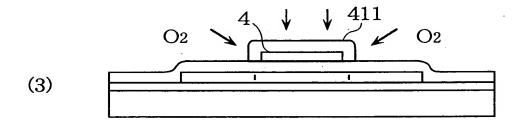
FIG. 19

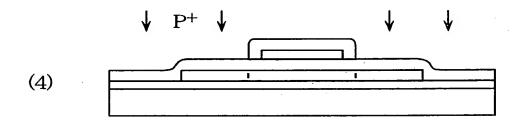












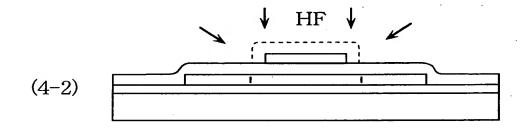


FIG. 21

Self Han C.

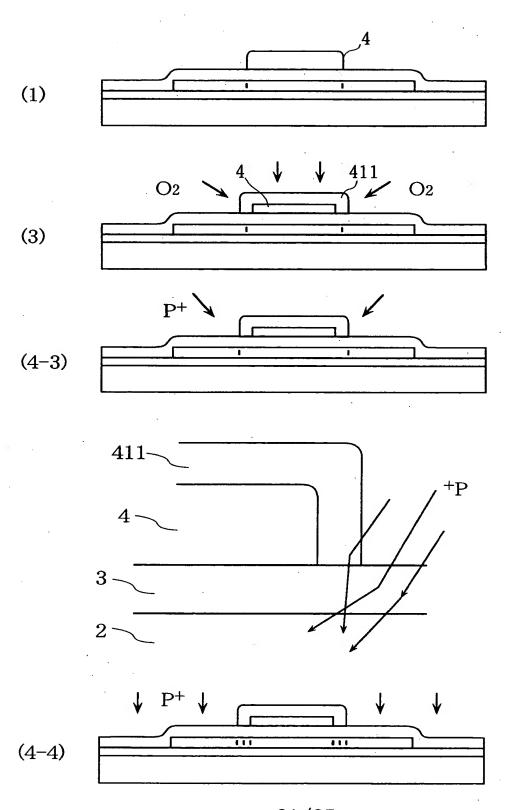
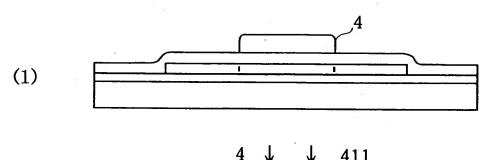
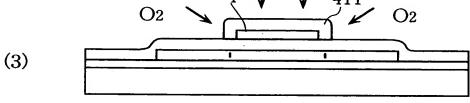
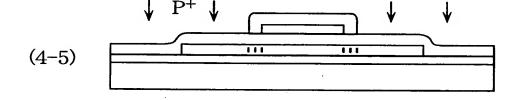
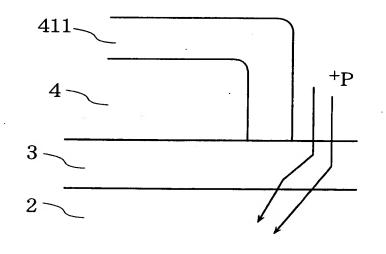


FIG. 22









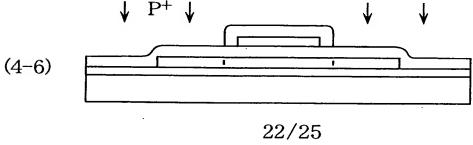
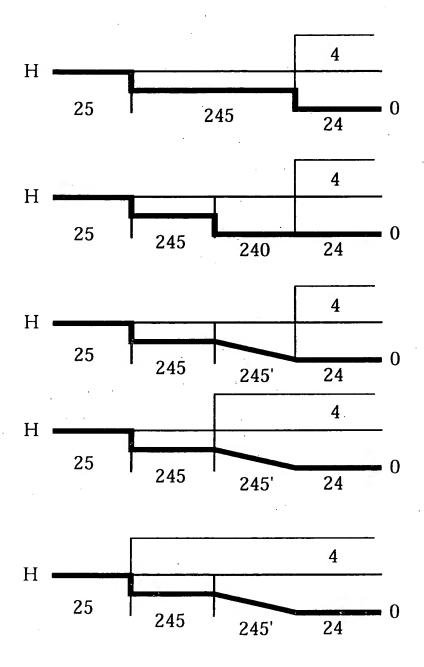


FIG. 23



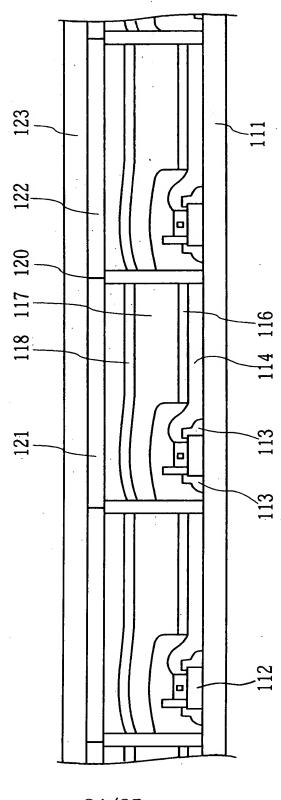


FIG. 24

24/25

FIG. 25

